

# Mikrosoczewkowanie grawitacyjne

P. Rozwadowski<sup>1</sup>

Uniwersytet Warszawski

---

---

<sup>1</sup>Uniwersytet Warszawski, Obserwatorium Astronomiczne, Warszawa, Al. Ujazdowskie 4

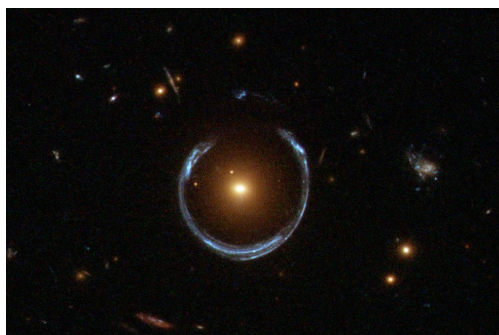
## Streszczenie

W poniższej pracy przedstawiono zjawisko mikrosoczewkowania grawitacyjnego oraz metodę wyznaczania parametrów krzywej paczyńskiego i dopasowanie jej do obserwowanych zmian blasku. Posłużono się i porównano algorytmy Levenberga-Marquardta, BFGS oraz Powell’a dla wybranych soczewek z projektu OGLE z 2015 roku.

*Słowa kluczowe:* soczewkowanie grawitacyjne, optymalizacja, OGLE

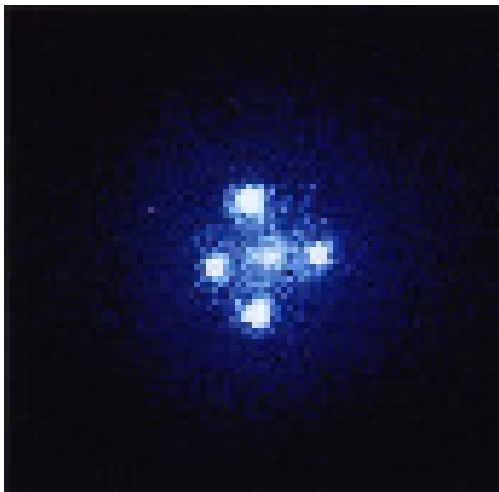
## 1. Wstęp

Zgodnie z ogólną teorią względności Einstein’a (OTW) masywne ciała powodują zakrzywienie czasoprzestrzeni, a więc także zakrzywienie promieni świetlnych (poruszających się po liniach geodezyjnych - tj. najkrótszych drogach pomiędzy dwoma punktami w przestrzeni metrycznej). Soczewką może być zarówno gwiazda, czarna dziura jak i cała gromada galaktyk. Niewielkie zniekształcenie i przesunięcie obrazu w wyniku tego zjawiska nosi nazwę słabego soczewkowania. Z silnym soczewkowaniem mamy do czynienia, gdy obraz jest znacznie zniekształcony - przybiera obraz łuku (Pierścień Einsteina) bądź powstaje obraz wielokrotny (Krzyż Einsteina). W poniższej pracy przeanalizowano zagadnienie mikrosoczewkowania czyli zakrzywienia przestrzeni przez obiekt rozmiaru gwiazdy.



Rys. 1.— LRG 3-757 - pierścień Einsteina

OGLE (The Optical Gravitational Lensing Experiment - Eksperyment Soczewkowania Grawitacyjnego) to projekt naukowy realizowany przez naukowców z Obserwatorium Astronomicznego Uniwersytetu Warszawskiego, którego celem jest detekcja zjawisk mikrosoczewkowania grawitacyjnego. Badania prowadzone są za pomocą polskiego teleskopu w Las Campanas w Chile. Do sukcesów projektu należą m.in. odkrycia pierwszych mikrosoczewek w kierunku centrum Drogi Mlecznej, odkrycia pozasłonecznych układów planetarnych czy też oszacowania liczby obiektów MACHO. W części czwartej projektu rejestruje się do 2000 zjawisk mikrosoczewkowania rocznie.



Rys. 2.— Obraz kwazara Q2237+030 - Krzyż Einsteina

W rozdziale drugim omówiono mikrosoczewkowanie przez punktowe (dla obserwatora) masy. W rozdziale trzecim opisano trzy wybrane algorytmy dopasowywania modelu do danych obserwacyjnych. Wyniki dopasowania przedstawiono w rozdziale czwartym.

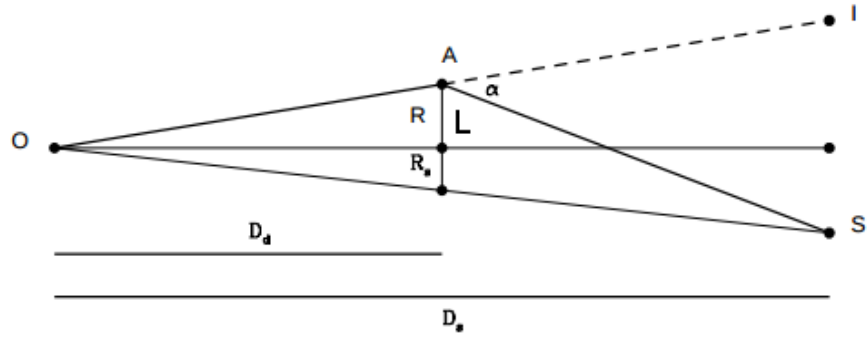
## 2. Mikrosoczewkowanie przez punktowe soczewki

Odległe soczewki są dla obserwatora punktowymi masami. Aby doszło do zjawiska na jednej linii musi znaleźć się obserwator ( $O$ ), soczewka ( $L$ ) oraz obiekt soczewkowany ( $S$ ). Schemat geometryczny mikrosoczewkowania pokazano na rysunku 3. Promienie świetlne są ugięte o kąt  $\alpha$ . Obserwator widzi obraz pozorny ( $I$ ) zamiast rzeczywistego ( $S$ ). Zgodnie z OTW kąt  $\alpha$  wyraża się wzorem

$$\alpha = \frac{4GM}{Rc^2}, \quad (1)$$

gdzie  $G$  to stała grawitacji,  $M$  to masa soczewki,  $c$  to prędkość światła. Z perspektywy obserwatora pojawiają się dwa pozorne obrazy  $I_1$  i  $I_2$  (rysunek 3). W trakcie trwania

zjawiska obiekty  $S$ ,  $L$  i  $O$  przemieszczają się względem siebie przez co obraz pozorny zmienia swoją jasność w zależności od odległości kątowej od soczewki (rysunek 5). Całość trwa od kilku godzin do kilkuset dni w zależności od ułożenia się względem siebie obiektów. Typowe odległości między  $S$  oraz  $L$  są rzędu milisekund łuku co przy obecnych metodach jest niemożliwe do bezpośredniego zaobserwowania. Jednak możliwe jest obserwowanie wzmocnienia jasności a następnie pociemnienie obiektu soczewkowanego.



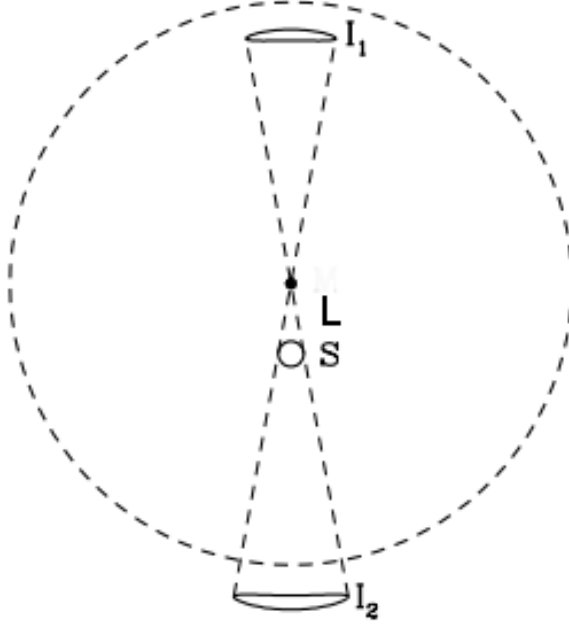
Rys. 3.— Schemat soczewkowania grawitacyjnego.  $O$  - obserwator,  $L$  - soczewka,  $S$  - obiekt soczewkowany,  $I$  - obraz pozorny.

Do opisu zmian jasności blasku można posłużyć się krzywą zaproponowaną przez Bohdana Paczyńskiego. Jest to funkcja jasności obserwowanej w zależności od czasu

$$m = m_{baseline} - 2.5 \log_{10}(f_s(A(u) - 1) + 1). \quad (2)$$

Zawiera ona pięć niezależnych parametrów, które należy dopasować do obserwacji. Pierwszym z nich jest jasność obiektu, kiedy nie zachodzi zjawisko mikroczerwowania  $m_{baseline}$ .  $f_s$  to stosunek jasności soczewki do całkowitej jasności.  $A$  jest funkcją  $u$  i mówi o powiększeniu jasności:

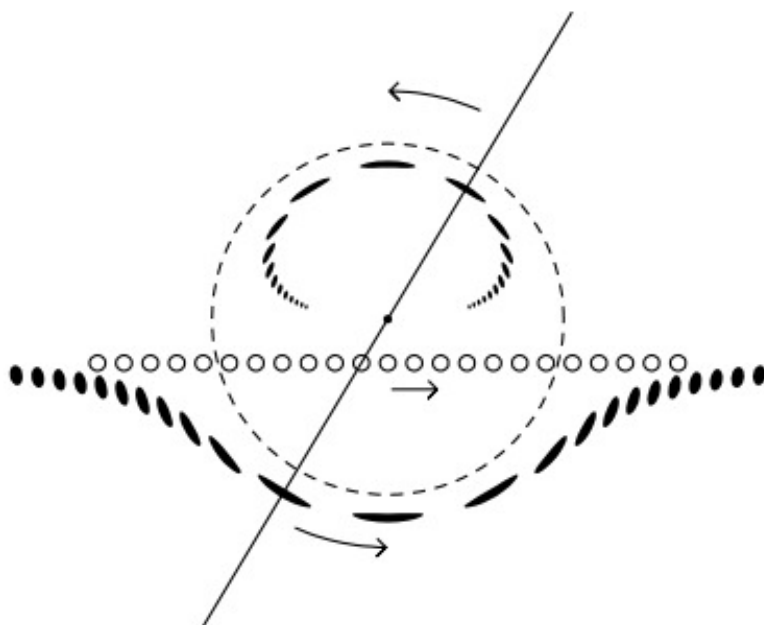
$$A(u) = \frac{u^2 + 2}{u(u^2 + 4)^{\frac{1}{2}}} \quad (3)$$



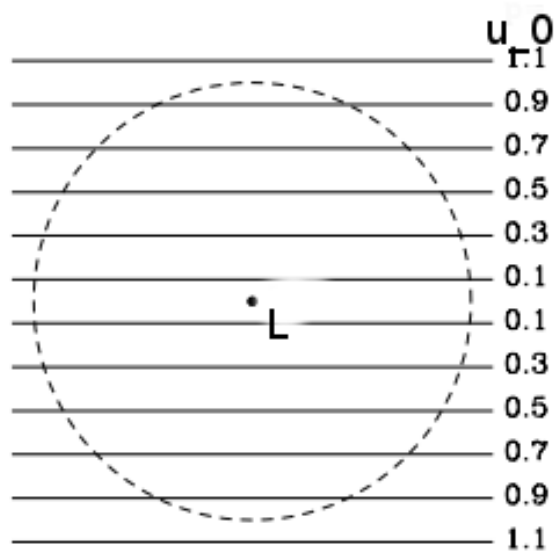
Rys. 4.— Obraz soczewkowania grawitacyjnego z perspektywy obserwatora.  $L$  - soczewka,  $S$  - obiekt soczewkowany (niewidoczny),  $I_1$  oraz  $I_2$  - obrazy pozorne. Przerywaną kreską zaznaczono promień Einsteina. Obraz  $I_1$  znajduje się w jego wnętrzu, a  $I_2$  na zewnątrz.

Natomiast  $u$  wyraża się poprzez  $u_0$  - bezwymiarowy parametr zderzenia mówiący o najmniejszej kątowej odległości między  $L$  i  $S$ ,  $t_0$  - czas maksymalnego pojaśnienia,  $t_E$  - skala czasowa zjawiska. Na rysunku 6 przedstawiono przykładowe odległości kątowe względem soczewki, a na rysunku 7 zmiany jasności tym wywołane.

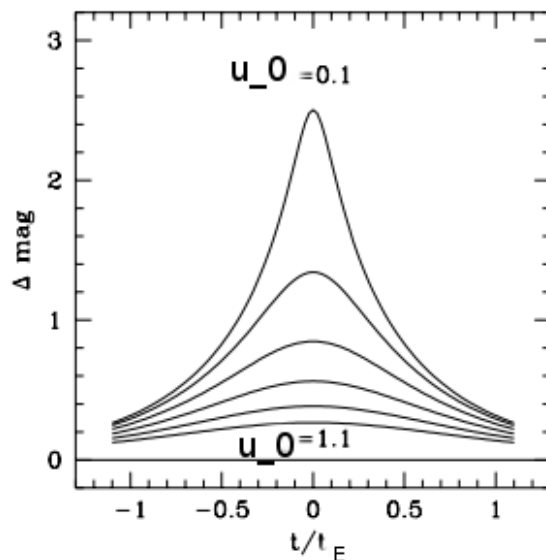
$$u = \sqrt{u_0^2 + \left(\frac{t - t_0}{t_E}\right)^2} \quad (4)$$



Rys. 5.— Obraz soczewkowania grawitacyjnego z perspektywy obserwatora w różnych momentach trwania zjawiska.



Rys. 6.— Przykładowe odległości  $u_0$  względem soczewki  $L$ .



Rys. 7.— Przykładowe powiększenia jasności w zależności od parametru  $u_0$ .

### 3. Dopasowanie parametrów krzywej do obserwacji

Głównym zadaniem tej pracy jest dopasowanie punktów pomiarowych (czasu obserwacji i jasności obserwowanej) do wyżej wymienionej krzywej. Poszukujemy pięciu parametrów  $m_{baseline}$ ,  $f_s$ ,  $u_0$ ,  $t_0$ ,  $t_E$ , które najlepiej opisują zjawisko. W tym celu posłużymy się trzema algorytmami optymalizacyjnymi: Levenberga-Marquardta, BFGS oraz Powell’a. Przy czym skupimy się głównie na pierwszym ze względu na jego popularność, szybkość działania i to, że daje on bardzo zadowalające rezultaty. Program do dopasowywania krzywej zaimplementowano w język programowania Python.

#### 3.1. Metoda Levenberga-Marquardta

Jest to iteracyjny algorytm łączący metodę największego spadku oraz metodę Gaussa-Newtona. Celem algorytmu jest znalezienie takiego wektora parametrów  $\beta$ , który



minimalizuje funkcjonal

$$S(\beta) = \sum_{i=1}^m \left[ y_i - f(x_i, \beta) \right]^2, \quad (5)$$

mając zadane punkty pomiarowe  $(x_i, y_i)$ . Na początek należy wybrać wektor startowy  $\beta$ . W każdym kroku iteracyjnym wektor  $\beta$  zastępujemy przez kolejne przybliżenie  $\beta + \delta$ . W celu wyznaczenia  $\delta$  funkcję  $f(x_i, \beta + \delta)$  przybliżamy przez

$$f(x_i, \beta + \delta) \approx f(x_i, \beta) + J_i \delta, \quad (6)$$

gdzie  $J_i$  jest gradientem względem  $\beta$

$$J_i = \frac{\partial f(x_i, \beta)}{\partial \beta} \quad (7)$$

W minimum  $S(\beta)$  gradient  $S$  względem  $\delta$  będzie równy zeru. Tak więc w pierwszym przybliżeniu  $f$  mamy

$$S(\beta + \delta) \approx \sum_{i=1}^m \left( y_i - f(x_i, \beta) - J_i \delta \right)^2, \quad (8)$$

Biorąc pochodną po  $\delta$  otrzymujemy

$$(J^T J) \delta = J^T [y - f(\beta)], \quad (9)$$

gdzie  $J$  to macierz Jacobiego gdzie  $i$ -ty wiersz to  $J_i$ ,  $f$  to  $f(x_i, \beta)$ , a  $y$  to  $y_i$ . Równanie to pozwala obliczyć  $\delta$ . Levenberg zaproponował by zmodyfikować ten wzór

$$(J^T J + \lambda I) \delta = J^T [y - f(\beta)], \quad (10)$$

gdzie  $I$  to macierz jednostkowa. Parametr  $\lambda$  koryguje każdą iterację. Jeśli spadek  $S$  jest szybki to metoda jest zbliżona do Gaussa-Newtona, podczas gdy iteracje dają niesatysfakcjonującą zbieżność  $\lambda$  jest zwiększana dając metodę zbliżoną do metody najszybszego spadku. W przypadku dużej wartości  $\lambda$   $J^T J$  nie jest używane w ogóle. W tym celu Marquardt zmodyfikował formułę do postaci

$$(J^T J + \lambda \text{diag}(J^T J)) \delta = J^T [y - f(\beta)]. \quad (11)$$

### 3.2. Metoda BFGS

Algorytm Broyden-Fletcher-Goldfarb-Shanno jest metodą quasi newtonowską pozwalającą zminimalizować  $S$ . Jest ona uogólnieniem metody siecznych na przypadek wielowymiarowy.  $S$  rozwijamy w szereg Taylora do drugiego stopnia

$$S(\beta + \delta) \approx f(\beta) + \nabla f(\beta)^T \delta + \frac{1}{2} \delta^T H \delta, \quad (12)$$

gdzie  $\nabla f$  oznacza gradient, a  $H$  Hesjan. Z rozwinięcia gradientu otrzymujemy pierwszy krok

$$\delta = -H^{-1} \nabla f(\beta). \quad (13)$$

Kolejny hesjan w tej metodzie obliczany jest iteracyjnie według wzoru

$$H = H_{old} + \frac{yy^T}{y^T \delta} - \frac{H_{old} \delta (H_{old} \delta)^T}{\delta^T H_{old} \delta}. \quad (14)$$

Oraz w kolejnych krokach  $\beta = \beta_{old} + \delta$ .

### 3.3. Metoda Powella

Algorytm Powella jest bezgradientową metodą bezpośredniego poszukiwania minimum funkcji. Polega ona na tworzeniu nowych kierunków poszukiwania minimum na podstawie poprzednich. Na początek wybierany jest punkt początkowy  $\beta$  oraz zbiór  $N$  ( $N = \dim(\beta)$ ) liniowo niezależnych kierunków poszukiwań  $s_i$ , na przykład w bazie kanonicznej  $e_i$ . Następnie poruszając się wzdłuż  $s_1$  znajdujemy punkt  $y_1$  i z niego szukamy minimum wśród pozostałych kierunków by potem znaleźć  $y_2$  wzdłuż kolejnego  $s_1$ . Otrzymujemy nowy kierunek sprzężony do  $s_1$ :  $d = y_2 - y_1$ . Jeśli  $\|d\|$  jest dostatecznie małe lub nowo powstałe kierunki  $s_1, s_2, \dots, s_{N-1}, d$  są liniowo zależne to algorytm kończy pracę. W przeciwnym wypadku  $s_j = s_{j-1}$  oraz  $s_1 = \frac{d}{\|d\|}$  i ponownie szukamy minimum.

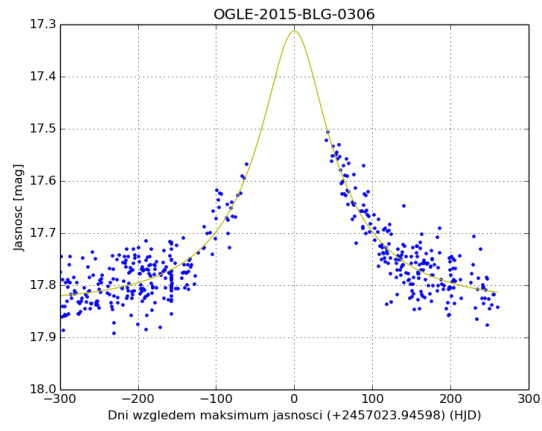
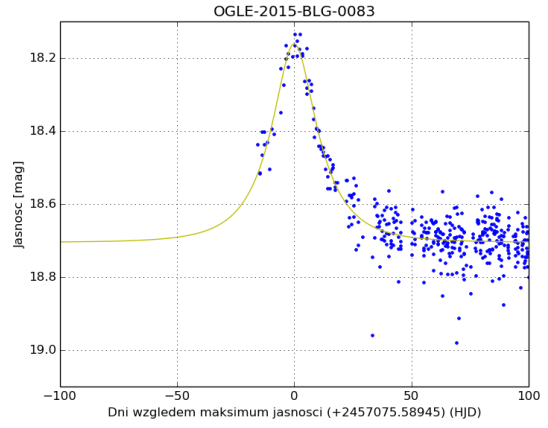
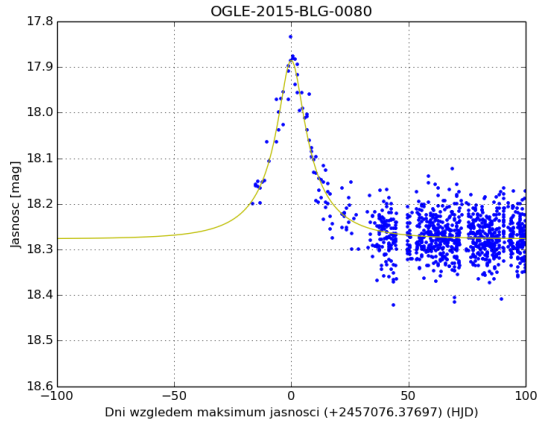
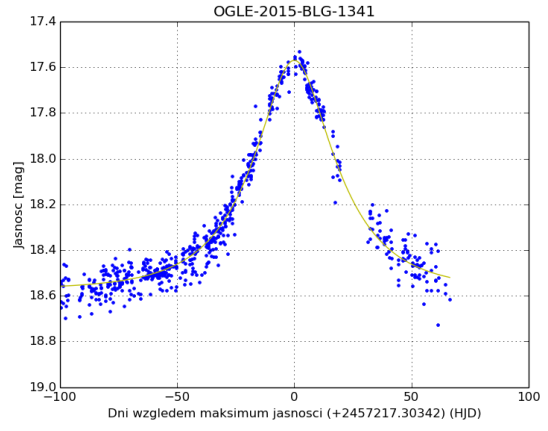
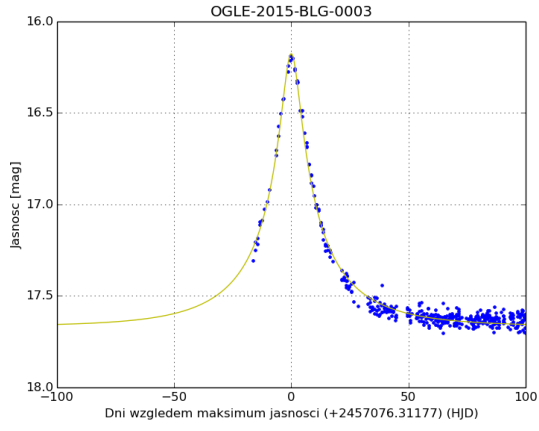
#### 4. Wyniki

W tabeli 1 podano wyniki dopasowania pięciu przykładowych zjawisk do modelu metodą Levenberga-Marquardta oraz dwóch metodą BFGS oraz Powella. Na rysunkach poniżej przedstawiono obserwacje wraz z naniesionym, dopasowanym modelem metodą Levenberga-Marquardta.

Tabela 1: Dopasowane parametry krzywej dla wybranych zjawisk z projektu OGLE

OGLE-2015-BLG-0003	Metoda Levenberga-Marquardta	+/-	Metoda BFGS	Metoda Powella
$m_{baseline}$	17.66745	0.00060	17.67	17.67
$f_s$	0.304	0.020	0.30	0.30
$u_0$	0.0938	0.0064	0.094	0.094
$t_0$	2.4571e+06	0.080	2.4571e+06	2.4571e+06
$t_E$	40.98	1.87	40.90	40.90
OGLE-2015-BLG-1341	Metoda Levenberga-Marquardta	+/-	Metoda BFGS	Metoda Powella
$m_{baseline}$	18.5735	0.0010	18.57	18.57
$f_s$	0.99	0.17	1.00	0.96
$u_0$	0.423	0.051	0.42	0.41
$t_0$	2.4572e+06	0.18	2.4572e+06	2.4572e+06
$t_E$	31.88	2.25	31.88	32.42

OGLE-2015-BLG-0080	Metoda Levenberga-Marquardta	+/-
$m_{baseline}$	18.27705	0.00044
$f_s$	0.102	0.036
$u_0$	0.194	0.060
$t_0$	2.4571e+06	0.33
$t_E$	27.18	5.57
OGLE-2015-BLG-0083	Metoda Levenberga-Marquardta	+/-
$m_{baseline}$	18.70577	0.00089
$f_s$	0.42	0.23
$u_0$	0.41	0.16
$t_0$	2.4571e+06	0.37
$t_E$	20.49	5.04
OGLE-2015-BLG-0306	Metoda Levenberga-Marquardta	+/-
$m_{baseline}$	17.8347	0.0013
$f_s$	0.177	0.064
$u_0$	0.227	0.107
$t_0$	2.4570e+06	1.56
$t_E$	162.40	27.43



## 5. Podsumowanie

W powyższej pracy przedstawiono zjawisko mikrosoczewkowania grawitacyjnego oraz sposoby dopasowania obserwacji do modelu punktowej soczewki. Spośród trzech algorytmów (Levenberga-Marquardta, BFGS, Powella) najwygodniejszą i najefektywniejszą jest metoda Levenberga-Marquardta. Jest ona szybko zbieżna i najlepiej oszacowuje pożądane parametry.

Rozwijanie metod obserwacji mikrosoczewek w przyszłości pomoże zwiększyć ilość odkrytych planet pozasłonecznych. Poza tym jest ono bardzo obiecującym narzędziem w badaniu ciemnej materii, a także badania struktury galaktyk.

## Bibliografia

- Paczynski, B. "Gravitational microlensing in the local group" (1996)
- Schneider, P., Kochanek, C., Wambsganss, J., "Gravitational Lensing: Strong, Weak and Micro"
- Nocedal, Jorge; Wright, Stephen J. (2006). Numerical Optimization, 2nd Edition.
- Shanno, David F. (July 1970), "Conditioning of quasi-Newton methods for function minimization", Math. Comput. 24 (111): 647–656
- Powell, M. J. D. (1964). "An efficient method for finding the minimum of a function of several variables without calculating derivatives". Computer Journal 7 (2): 155–162